



## بررسی غلظت اورانیوم در آبهای آشامیدنی شیراز و ارزیابی دُز مؤثر آن

حسن نادری\*

تعاونیت نظام اینمنی هسته‌ای، سازمان انرژی اتمی ایران، صندوق پستی: ۴۴۹۴-۴۱۰۵، تهران - ایران

**چکیده:** اورانیوم در اثر نفوذ مواد تمدنی شده در طبیعت، پسمانهای حاصل از حفاری، انتشار از طریق صنایع هسته‌ای، احتراق زغال‌سنگ و سوختهای دیگر و مصرف کودهای فسفاته حاوی اورانیوم به محیط کویست وارد می‌شود. به همین ترتیب هم در آب آشامیدنی نفوذ می‌کند. برای تعیین غلظت اورانیوم در آبهای آشامیدنی شیراز، در این تحقیق روش لیزر فلوریمتری با پایین‌ترین حد آشکارسازی  $0.05 \mu\text{g/l}$  بکار رفته و از لیزر فلوریمتر نوع Scintrex مدل UA-3 استفاده شده است. تعداد ۱۶ نمونه آب آشامیدنی از نواحی مختلف شیراز گردآوری شده و مورد اندازه‌گیری قرار گرفته است. میانگین نتایج بدست آمده از اندازه‌گیری غلظت کلی اورانیوم آبهای آشامیدنی شیراز برابر با  $2.765 \mu\text{g/l}$  است. میانگین دُزهای مؤثر سالیانه دریافتی بزرگسالان، کودکان و نوزادان ناشی از پرتوزایی  $^{238}\text{U}$  در آبهای آشامیدنی در محدوده مجاز پرتوگیری برآورده شده است.

**واژه‌های کلیدی:** آب آشامیدنی، اورانیوم، لیزر فلوریمتری، دُز مؤثر

## A Survey of Uranium Concentration in Drinking Water of Shiraz and Assessment of Its Related Effective Dose

H. Naderi\*

Nuclear Regulatory Authority, AEOI, P.O.Box: 14155 - 4494, Tehran - Iran

**Abstract:** Uranium is present in the environment as a result of leaching from natural deposits, release in mill tailings, emissions from the nuclear industry, the combustion of coal and other fuels, and the use of phosphate fertilizers that contain uranium. Thus, it is found in drinking water. In this research, A Laser Fluorimetry Method with a minimum detection limit  $0.05 \mu\text{g/l}$  is applied with a laser fluorimeter of type Scintrex® UA-3. A total number of sixteen drinking water samples from different areas of Shiraz were collected. The average results of the total uranium concentration in Shiraz drinking water is equal to  $2.765 \mu\text{g/l}$ . The average annual effective doses received by adults, children and infants from  $^{238}\text{U}$  activity in drinking water are located in permissible level of exposure.

**Keywords:** drinking water, uranium, laser fluorimetry, effective dose

$\mu\text{g}/\text{l}$  ۴/۰۶ گزارش شد [۸]. در بررسی دیگری که بین سالهای ۱۹۸۷-۱۹۸۴ در Manitoba توسط اداره حفاظت در برابر اشعه کانادا به عمل آمد، میزان تغییرات غلظت اورانیوم از کمتر از حد آشکارسازی ( $\mu\text{g}/\text{l}$ ) تا  $۵\mu\text{g}/\text{l}$  بود و در ۴۵ درصد نمونهایی که غلظت آنها از حد آشکارسازی بیشتر بود میانگین غلظت برابر با  $۱۶/۱\mu\text{g}/\text{l}$  بود [۹ و ۱۰]. اورانیوم با غلظتها بیشتر در حدود  $۷۰\mu\text{g}/\text{l}$  در تعدادی از منابع آب زیرزمینی کانادا یافت شده است [۱۱]. این منابع ممکن است در تماس با آب آشامیدنی باشند. بنابراین، انتظار می‌رود که اورانیوم در تعدادی از منابع آب آشامیدنی وارد شود.

اورانیوم به وسیله کودهای فسفاته و پسمانهای فسفات حاصل از حفاری معادن ممکن است به محیط زیست وارد شود. متوسط غلظت اورانیوم در کود، حدود  $۱۰۰\mu\text{g}/\text{g}$  یا  $۱۰\text{ pCi/g}$  است [۱۲]. اورانیوم طبیعی در حالت تعادل، معادل با  $۰/۷\mu\text{g}/\text{g}$  است. اثرهای شیمیایی اورانیوم موجود در آب آشامیدنی زیان‌بارتر از پرتوزایی آن است. بررسی‌ها نشان می‌دهند که وجود اورانیوم با غلظتها بالا در آب آشامیدنی ممکن است بر گلیه‌ها تأثیرگذار باشد. التهاب گلیه‌ها از نخستین اثرهای شیمیایی اورانیوم بر انسان و حیوان است [۱۲]. اطلاعات اندکی درباره اثرهای مزمن پرتوگیری ناشی از اورانیوم موجود در محیط زیست بر انسانها در دسترس است. در مطالعات کلینیکی انجام گرفته در Nova Scotia (کانادا) بر روی ۳۲۴ نفر از افرادی که در معرض تابش مقادیر متغیری از اورانیوم موجود در آب آشامیدنی (تا  $۰/۷\text{ mg}/\text{l}$ ) که از چاههای آب خصوصی تأمین می‌شد قرار داشتند، ارتباطی میان امراض آشکار کلیوی و تابش ناشی از اورانیوم پیدا نشد [۱۰ و ۱۱ و ۱۲].

## ۲- محاسبه دُز مؤثّر در آب آشامیدنی

دُز مؤثّر سالیانه ناشی از مواد پرتوزای حاصل از مصرف آب آشامیدنی از رابطه زیر حساب می‌شود:

(۱)

$$\text{Annual Dose per unit Radionuclide Dose} = \frac{\text{intake}}{(\text{mSv/year})} \times \frac{\text{Annual water consumption}}{(\text{mSv/Bq})} \times \frac{\text{concentration}}{(\text{Litre/year})} \times \frac{(\text{Bq/L})}{(\text{Bq/L})}$$

در محاسبات مربوط به دُز مؤثّر، فرض می‌شود که حجم آب

## ۱- مقدمه

مواد پرتوزای طبیعی عبارتند از: عناصر اوئیهای که در طول تشکیل پوسته زمین به وجود آمده‌اند، مواد پرتوزای طبیعی که محصول فروپاشی این عناصر اوئیه‌اند، و مواد پرتوزایی که در اتمسفر به وسیله برهمکنشهای اشعه کیهانی تشکیل شده‌اند.

مهمترين مواد پرتوزای موجود در کره خاکی عبارتند از: پتاسیوم -  $۴۰\text{K}^{+}$ ، اورانیوم -  $۲۳۸\text{U}^{+}$ ، توریوم -  $۲۳۲\text{Tb}^{+}$  و محصولات فروپاشی آنها که در آب، خاک، غذا و بدن انسان یافت می‌شوند [۱].

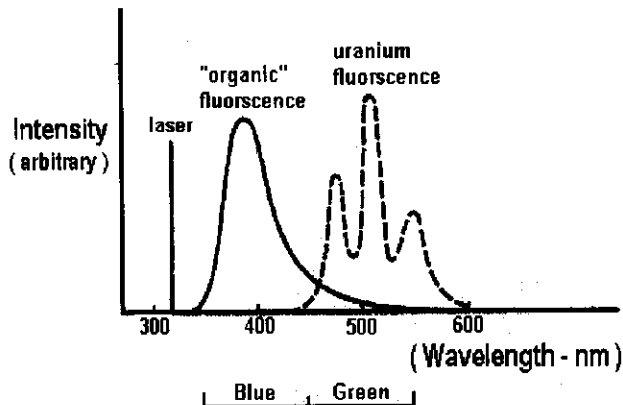
دو نوع فروپاشی پرتوزا در آب آشامیدنی، که برای سلامتی انسان بالاترین احتمال خطر را دارند، انتشاردهنده‌های بتا/گاما و آلفا می‌باشند. مواد پرتوزایی که در طبیعت یافت می‌شوند معمولاً انتشاردهنده ذرات آلفا می‌باشند، اما تعدادی از محصولات دختر آنها، که نیمه عمر کوتاه‌تری دارند، ذرات بتا منتشر می‌کنند. رادیوم، اورانیوم و پلوتونیوم ذرات آلفا منتشر می‌کنند [۲].

در بین عناصری که به طور طبیعی در آبها و پوسته زمین یافت می‌شوند، اورانیوم عنصری است که بالاترین عدد اتمی را دارد. اورانیوم طبیعی در برگیرنده سه ایزوتوپ اورانیوم -  $۲۳۴\text{U}^{+}$ ، اورانیوم -  $۲۳۵\text{U}^{+}$  و اورانیوم -  $۲۳۸\text{U}^{+}$  است که پرتوهای آلفا و گاما منتشر می‌سازند. اورانیوم طبیعی حاوی  $۹۹/۲۷\text{U}^{+}$  درصد  $۰/۷۲\text{Th}^{+}$ ،  $۰/۷۴\text{Ra}^{+}$  درصد  $۰/۰۶\text{U}^{+}$  درصد  $۰/۰۰۶\text{U}^{+}$  است [۳ و ۴].

متوسط غلظت اورانیوم در پوسته زمین  $۴\times ۱۰^{-۴}\text{ mg/g}$  است [۵]. اورانیوم در سنگهای گرانیتی، زغال‌سنگ، سنگهای دگردیسی<sup>(۱)</sup>، شن‌زارهای مونازیتی، کودهای فسفاته همچنین در مواد معدنی از جمله: Carnotit و Pitchblende Uranotit معدن اورانیوم (سنگ) یافت می‌شود [۶]. غلظت اورانیوم در صخره‌های فسفاته بیشتر از  $۰/۱۲\text{ mg/g}$  می‌تواند باشد [۷].

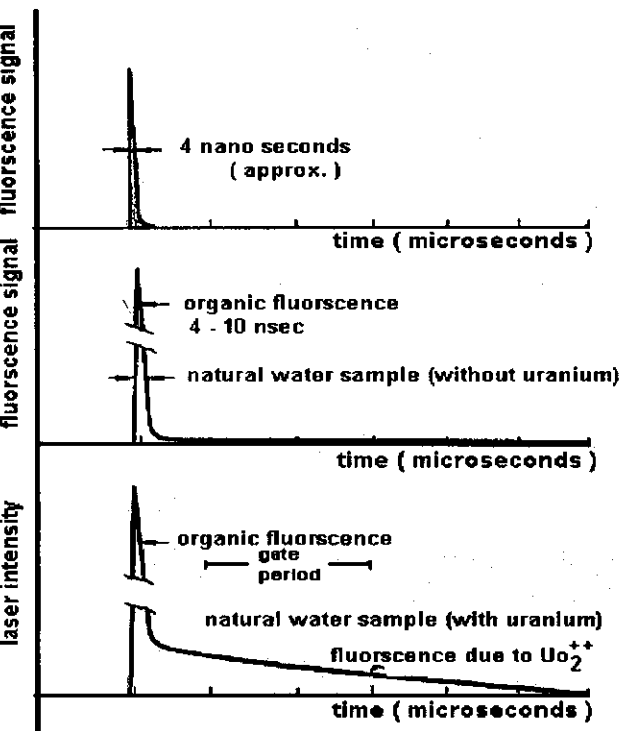
همچنین، ممکن است در پاره‌ای از موارد، در اثر فعالیتهای انسان، مانند حفاری در معادن اورانیوم، منابع آب آشامیدنی آلوده به اورانیوم شوند. در تعدادی از موارد، وجود اورانیوم در مواد تهشیش شده در حوضچه‌های تصفیه مورد استفاده در حفاری معادن آشکار شده است [۳].

در یک بررسی که بین سالهای ۱۹۸۱-۱۹۸۰ در ایالت بریتیش کلمبیا کانادا در ۱۳ منطقه به عمل آمد، میانگین غلظت اورانیوم در آبهای سطحی و زیرزمینی (در مورد ۵۱۹ نمونه)



شکل ۱- شدت و طول موج مربوط به خاصیت فلورسانس حاصل از اورانیوم و ماده آلتی [۱۶]

لومینسانس پیوسته‌ای از خود منتشر می‌سازد. اگر این تحریک به طور ناگهانی خاتمه یابد، خاصیت لومینسانس فوراً از بین نمی‌رود، بلکه در مدت زمان محدودی ادامه می‌یابد. فلورسانس‌های حاصل از بیشتر مولکولهای آلتی به سرعت خاموش می‌شوند و "زمان حیات" آنها به ندرت از چند نانوثانیه تجاوز می‌کند. اما فلورسانس یون‌های اورانیل رفیق شده، تعاملی به زمان نسبتاً بلند با زمانهای حیات چند ده میکروثانیه دارد (شکل ۲). در روش بکار رفته، تحریک فرابنفش حاصل از لیزر نیتروژن



شکل ۲- زمان حیات فلورسانس اورانیوم و ماده آلتی [۱۶]

صرفی برای بزرگسالان، کودکان و نوزادان به ترتیب برابر با ۵۰، ۳۵۰، ۱۵۰ لیتر در سال باشد [۱۳].

بر طبق استاندارد آذانس حفاظت محیط زیست آمریکا، (USEPA)<sup>(۳)</sup>، بیشترین غلظت مجاز (MCL)<sup>(۴)</sup> اورانیوم در آب آشامیدنی  $1\text{ }\mu\text{g}/\text{l}$  است [۱۴].

## ۱- نمونه برداری

برای نمونه برداری از ظرفهای پلی اتیلن چهار لیتری استفاده شد. جنس ظروف نمونه برداری باید از موادی باشد که از آنها هیچگونه آلودگی وارد نمونه‌ها نشود (گازهایی مانند  $\text{CO}_2$  از ظروف پلاستیکی در نمونه مضروف نفوذ می‌کنند و باعث تغییراتی در pH آن می‌شوند). همچنین، ۲۰ ml اسید نیتریک به نمونه اضافه شده تا pH آن در زیر ۲ تنظیم گردد. این عمل از چسبیدن رادیوبنوكلئیدهای موجود در نمونه به دیواره ظرف جلوگیری می‌کند [۱۵].

## ۲- روش کار

دستگاه تحلیلگر اورانیوم مدل UA-3، وسیله‌ای نورابرقی<sup>(۵)</sup> است که برای اندازه‌گیری اورانیوم طبیعی محلول در آبهای سطحی، مانند آب دریاها، دریاچه‌ها و رودخانه‌ها، یا آبهای زیرزمینی مانند چشمه‌ها و چاهها بکار می‌رود. اندازه‌گیری با این دستگاه براساس خاصیت فلورسانس حاصل از همتافت<sup>(۶)</sup> اورانیل با افزودن یک معروف به نمونه در مدت تجزیه و تحلیل است. بیشتر آبهای سطحی هنگامی که در معرض تابش لیزر نیتروژن با طول موج ۳۷۷ نانومتر قرار می‌گیرند، فلورسانس آبی رنگ شدیدی از خود نشان می‌دهند که بیشینه شدت آن در حدود طول موج ۴۰۰ انگستروم است (شکل ۱). این طول موج تابشی به وسیله صافی سبز رنگی از فلورسانس حاصل از اورانیوم جدا می‌شود (شکل ۳)، ولی طول موج بلندتری انتقال داده می‌شود که ممکن است به صورت یک مزاحم مهم پدیدار گردد. این مزاحم را می‌توان با استفاده از اختلاف در "زمانهای حیات"<sup>(۷)</sup> فلورسانس‌های اورانیل و ترکیبات آلتی موجود در محلول، تا اندازه قابل ملاحظه‌ای کاهش داد.

ماده فلورسانس، تحت شرایط تحریک مداوم و پیوسته،

کوارتز ریخته، معروف فلوران را به آن افزوده‌ایم. فلوران، حاوی محلول بافری است که pH محلول را در مدت اندازه‌گیری در عدد هفت ثابت نگه می‌دارد. این امر باعث می‌شود تا هم اثرهای تضعیفی<sup>(۱)</sup> مواد مزاحم آنند کردن آلتی یا غیرمحلول کاهش یابند و هم فلورسانس بهینه‌ای حاصل شود. این سلول را در مقابل نور لیزر نیتروژن سیستم تحلیلگر اورانیوم UA-3 قرار داده‌ایم. در اثر برخورد نور لیزر با نمونه، یونهای اورانیل خاصیت فلورسانس پیدا می‌کنند (D<sub>1</sub>).

علامتهای حاصل از لامپ تکثیرکننده فوتون (PMT) به وسیله سیستم الکترونیکی جمع آوری شده و به صورت خروجی در نمایشگر دستگاه نمایان می‌شوند. شکل ۳ طرح عملکرد سیستم تحلیل گر اورانیوم UA-3 را نشان می‌دهد.

در این مرحله، محلول نیترات اورانیل  $\text{UO}_4(\text{NO}_3)_2 \cdot 6\text{H}_2\text{O}$  را برای سنجه بندی کردن (کالیبراسیون) افزوده‌ایم. پس از خارج کردن سلول از دستگاه، ۱۱۱ ml از محلول استاندارد را به آن اضافه کرده، مجدداً سلول را درون دستگاه قرار داده‌ایم و فلورسانس حاصل از این محلول را روی نمایشگر دستگاه خوانده‌ایم (D<sub>2</sub>).

رابطه‌ای که برای محاسبه غلظت اورانیوم موجود در آب مورد استفاده قرار می‌گیرد به صورت زیر است [۱۶]:

$$U = \frac{D_1}{D_2 - D_1} \cdot \frac{V_1}{V_2} \cdot C \frac{1}{V_{\text{spl}}} \quad (2)$$

که در آن:

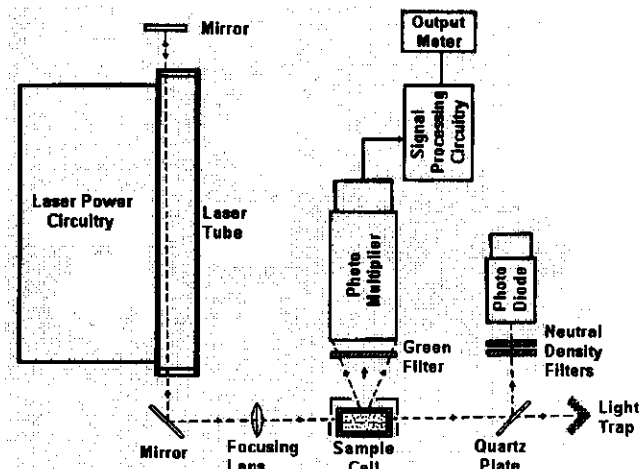
U غلظت اورانیوم موجود در آب بر حسب ppb  
 $D_1$  عدد خوانده شده روی نمایشگر دستگاه در اثر برخورد نور لیزر با نمونه

$D_2$  عدد خوانده شده روی نمایشگر دستگاه در اثر برخورد نور لیزر با نمونه حاوی محلول استاندارد

$V_1$  حجم محلول استاندارد بر حسب cc

$V_2$  حجم نمونه بر حسب cc  
C غلظت محلول استاندارد بر حسب ppb  
 $V_{\text{spl}}$  حجم نمونه آب که عمل رقیق سازی بر روی آن انجام گرفته است.

مهترین مواد به کار گرفته شده در این آزمایش عبارتند از:



شکل ۳- طرح عملکرد سیستم تحلیل گر اورانیوم UA-3

خلی شدید می‌باشد، ولی بالس آن دارای عمر کوتاه است  $10^{-3}\text{-}4\text{ Sec}$ . هنگامی که لیزر بکار افتاد، بعد از توقف فلورسانس ترکیبات آلتی، علامتهای تأخیری حاصل از "کاند تکثیر فوتون" به وسیله سیستم الکترونیکی جمع آوری می‌شوند. این پاسخدهی (حساسیت) تقریباً به طور کامل مربوط به فلورسانس اورانیوم است.

در مرحله انجام آزمایش، به ۵۰ ml از نمونه آب مقدار ۲ gr  $\text{K}_2\text{S}_2\text{O}_8$  اضافه کرده و نمونه را تا هنگام تشکیل یافتن رسوب خشک سفید رنگ در ته بشر حرارت داده‌ایم. سپس بشر را روی چراغ بونزن گرفته‌ایم تا هرگونه ماده آلتی موجود در رسوب تبخیر و از آن خارج شود. بدین ترتیب رسوب همگنی در ته بشر باقی می‌ماند. با اضافه کردن ۴۰ ml آب مقطر، دوباره این رسوب را کمی حرارت داده و حل کرده‌ایم (مرحله رقیق‌سازی). با افزودن چند قطره محلول هیدروکسید ۱۰ نرمال، pH محلول را به ۱۱-۱۰ رسانده‌ایم. در این موقع محلول  $\text{HNO}_3 \cdot 10\%$  pH تنظیم کرده‌ایم. در این ترتیب رسوب همگنی در تدريع افزوده‌ایم تا اینکه pH محلول به ۳ تا ۴ برسد.

### ۱-۳- تهیه محلول استاندارد

$100 \mu\text{l}$  از محلول  $10 \text{ ppm}$  اورانیل نیترات  $\text{UO}_4(\text{NO}_3)_2 \cdot 6\text{H}_2\text{O}$  را به  $1 \text{ ml}$  اسیدنیتریک  $10/0.5\%$  اضافه کرده و حجم آن را به  $10 \text{ ml}$  رسانده‌ایم. به عبارت دیگر غلظت محلول را از  $10 \text{ ppm}$  به  $100 \text{ ppb}$  رسانیده‌ایم. سپس،  $6 \text{ ml}$  از نمونه آماده شده را درون سلولی از جنس



- دستگاه آنالیز اورانیوم مدل UA-3 ساخت کارخانه Scintrex کانادا.

•  $\text{K}_2\text{S}_2\text{O}_8$

• محلول  $\text{NaOH}$  ۱۰ N

• محلول  $\text{HNO}_3$  ۱۰٪

• محلول نیترات اورانیل  $\text{UO}_2(\text{NO}_3)_2 \cdot 6\text{H}_2\text{O}$

• معرف فلوران (FLURAN)

مهترین وسائل مورد استفاده عبارتند از:

• گرمکن و همزن مغناطیسی،

- دستگاه نمایشگر دیجیتال pH مدل 744 ساخت کارخانه Metrohm سوئیس.

#### ۴- نتایج

##### ۴-۱ غلظت کلی اورانیوم

جدول ۱ و شکل ۴ به ترتیب نتایج اندازه‌گیری و نمودار تغیرات غلظت کلی اورانیوم را در آبهای آشامیدنی شهر شیراز می‌دهند. میانگین غلظت کلی اورانیوم در آبهای آشامیدنی شهر شیراز  $27765 \mu\text{g/l}$  است.

جدول ۱- میزان غلظت کلی اورانیوم در آبهای آشامیدنی شهر شیراز [۱۷]

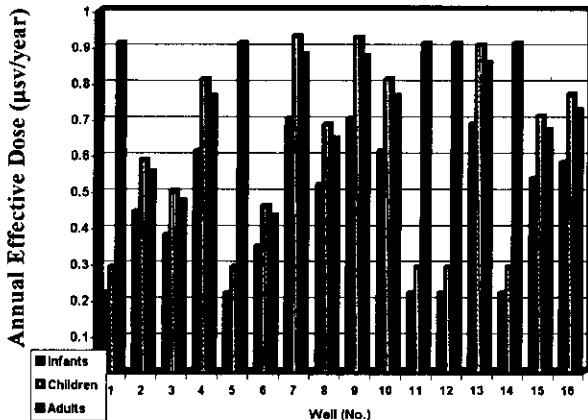
منطقه	نحوه بردازی	تاریخ نمونه بردازی	موقعیت جغرافیایی	آب pH	غلظت کلی اورانیوم ( $\mu\text{g/l}$ )
(۱) دامنه سبزپوشان چاه	(۱)	16.3.80 11:15	۲۹°۳۲'۱۲ N ۵۲°۲۷'۳۷ E	7.20	$3.300 \pm 0.49$
(۲) منطقه محمدی چاه	(۲)	16.3.80 11:58	۲۹°۳۸'۰۰ N ۵۲°۲۶'۱۲ E	7.40	$2.018 \pm 0.30$
منطقه محمدی چاه	(۳)	16.3.80 12:05	۲۹°۳۸'۰۰ N ۵۲°۲۶'۱۲ E	7.40	$1.721 \pm 0.25$
(۳) منطقه دراک چاه	(۲)	16.3.80 12:34	۲۹°۳۸'۰۸ N ۵۲°۲۷'۲۳ E	7.25	$2.774 \pm 0.41$
منطقه دراک چاه	(۴)	16.3.80 12:45	۲۹°۳۸'۴۸ N ۵۲°۲۷'۱۱ E	7.10	$3.300 \pm 0.49$
منطقه دراک چاه	(۹)	16.3.80 13:14	۲۹°۳۹'۲۰ N ۵۲°۲۶'۵۰ E	7.70	$1.576 \pm 0.23$
محوطه تصفیه خانه چاه	(305)	16.3.80 17.03	۲۹°۳۷'۵۲ N ۵۲°۳۱'۰۳ E	7.28	$3.185 \pm 0.47$
باغ کیف چاه	(310)	16.3.80 17:15	۲۹°۳۷'۴۵ N ۵۲°۳۰'۵۴ E	6.88	$2.348 \pm 0.35$
(۴) بیمارستان نمازی چاه	(304)	16.3.80 17:46	۲۹°۳۷'۴۸ N ۵۲°۳۰'۵۲ E	6.90	$3.177 \pm 0.47$
بیمارستان نمازی چاه	(303)	16.3.80 18:00	۲۹°۳۷'۴۸ N ۵۲°۳۰'۵۲ E	6.80	$2.774 \pm 0.41$
بیمارستان نمازی چاه	(302)	16.3.80 18:10	۲۹°۳۷'۵۴ N ۵۲°۳۱'۰۶ E	6.80	$3.300 \pm 0.49$
تعاونی مصرف چاه	(319)	16.3.80 18:17	۲۹°۳۷'۴۷ N ۵۲°۳۰'۲۰ E	6.72	$3.300 \pm 0.49$
تعاونی مصرف چاه	(322)	16.3.80 18:27	۲۹°۳۷'۴۳ N ۵۲°۳۰'۱۵ E	6.71	$3.104 \pm 0.46$
عفیف آباد چاه	(325)	16.3.80 18:56	۲۹°۳۷'۳۶ N ۵۲°۳۰'۱۰ E	6.82	$3.300 \pm 0.49$
(باغ خرمالو) چاه	(318)	16.3.80 18:46	۲۹°۳۷'۴۴ N ۵۲°۳۰'۲۷ E	6.71	$2.430 \pm 0.36$
آبیاری - قدمگاه چاه	(334)	16.3.80 19:08	۲۹°۳۶'۴۷ N ۵۲°۳۰'۲۵ E	6.90	$2.633 \pm 0.39$

۳- منطقه دراک دارای یازده حلقه چاه است (چاه شماره ۱۱ خارج از رده است). چاههای شماره ۲، ۴ و ۹ برای نمونه برداری انتخاب شدند. سختی آب این منطقه در حدود  $500 \text{ ppm}$  است.

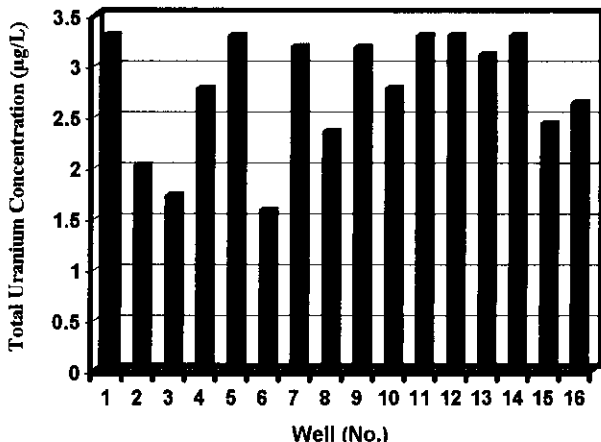
۴- محوطه بیمارستان نمازی دارای چهار حلقه چاه است که چاههای شماره ۴ و ۳۰۴ نمونه برداری شد. با توجه به تحقیقات به عمل آمده از سازمان آب و فاضلاب شیراز، بستر خاک مناطق سبزپوشان و دراک آهکی و مناطق عفیف آباد و بیمارستان نمازی (مناطق داخلی شهر) آبرفتی می‌باشد. ارتفاع چاهها از سطح دریا  $1354 \text{ متر}$  است [۱۷].

۱- دامنه سبزپوشان دارای چهار حلقه چاه است که به دلیل نزدیک بودن چاهها به هم، چاه شماره (۱) برای نمونه گیری انتخاب شد. جنس بستر خاک از نوع آهکی و سختی آب در حدود  $500 \text{ ppm}$  است.

۲- منطقه محمدی (پشت کارخانه سیمان) دارای سه حلقه چاه است که چاههای شماره (۲) و (۳) برای تجزیه و تحلیل انتخاب شدند (فاصله این دو حلقه چاه نسبت به چاه شماره (۱) بیشتر است). سختی آب این منطقه در حدود  $200 \text{ ppm}$  است.



شکل ۵- نمودار تغیرات ذُر مؤثر سالیانه دریافتی بزرگسالان، کودکان و نوزادان ناشی از پرتوزایی  $^{238}\text{U}$  در آبهای آشامیدنی شیراز [۱۷]



شکل ۶- نمودار تغیرات غلظت کلی اورانیوم در آبهای آشامیدنی شیراز [۱۷]

## ۵- بحث

در قسمتهای قبل متذکر شدیم که اورانیوم معکن است از طریق کودهای فسفاته، آب دریا و حفاری معدن وارد منابع تأمین آب شده و سبب آلودگی (عموماً شیمیایی) آنها گردد. پایین بودن مقدار غلظت کلی اورانیوم در آبهای آشامیدنی شیراز حاکی از آن است که اولًا، فعالیتهای انسانی مانند حفاری معدن در اطراف این منابع وجود ندارد، ثانیاً، بستر خاک این منابع از جنس گرانیت، زغال سنگ، مونازیت و مانند اینها نیست با توجه به تحقیقات به عمل آمده از سازمان آب و فاضلاب شیراز، بستر

میانگین ذُر مؤثر سالیانه دریافتی ناشی از پرتوزایی ایزوتوپ  $^{238}\text{U}$  در آبهای آشامیدنی شیراز برای بزرگسالان، کودکان و نوزادان به ترتیب برابر با  $0.762 \mu\text{Sv}/\text{year}$ ,  $0.806 \mu\text{Sv}/\text{year}$  و  $0.610 \mu\text{Sv}/\text{year}$  برآورده شده است. جدول ۲ و شکل ۵ به ترتیب نتایج و نمودار تغیرات ذُر مؤثر سالیانه دریافتی بزرگسالان، کودکان و نوزادان ناشی از پرتوزایی ایزوتوپ  $^{238}\text{U}$  در آبهای آشامیدنی شیراز را نشان می‌دهند. لازم به ذکر است که ذُرهای مؤثر نامبرده بدون در نظر گرفتن فاکتور وزنی جمعیت<sup>(۴)</sup> حساب شده‌اند [۱۷].

جدول ۲- ذُر مؤثر سالیانه دریافتی ناشی از پرتوزایی  $^{238}\text{U}$  در آبهای آشامیدنی شیراز [۱۷]

نوبه	ذُر مؤثر سالیانه ( $\mu\text{Sv}/\text{year}$ )		
	نوزادان	کودکان	بزرگسالان
1	$0.220 \pm 0.009$	$0.292 \pm 0.012$	$0.910 \pm 0.011$
2	$0.445 \pm 0.005$	$0.588 \pm 0.007$	$0.556 \pm 0.007$
3	$0.380 \pm 0.004$	$0.502 \pm 0.006$	$0.474 \pm 0.006$
4	$0.612 \pm 0.007$	$0.810 \pm 0.010$	$0.765 \pm 0.009$
5	$0.220 \pm 0.009$	$0.292 \pm 0.012$	$0.910 \pm 0.011$
6	$0.348 \pm 0.004$	$0.460 \pm 0.005$	$0.434 \pm 0.005$
7	$0.702 \pm 0.008$	$0.929 \pm 0.011$	$0.878 \pm 0.010$
8	$0.518 \pm 0.006$	$0.685 \pm 0.008$	$0.647 \pm 0.008$
9	$0.701 \pm 0.008$	$0.927 \pm 0.011$	$0.876 \pm 0.010$
10	$0.612 \pm 0.007$	$0.810 \pm 0.010$	$0.765 \pm 0.009$
11	$0.220 \pm 0.009$	$0.292 \pm 0.012$	$0.910 \pm 0.011$
12	$0.220 \pm 0.009$	$0.292 \pm 0.012$	$0.910 \pm 0.011$
13	$0.685 \pm 0.008$	$0.905 \pm 0.011$	$0.856 \pm 0.010$
14	$0.220 \pm 0.009$	$0.292 \pm 0.012$	$0.910 \pm 0.011$
15	$0.536 \pm 0.006$	$0.709 \pm 0.008$	$0.670 \pm 0.008$
16	$0.581 \pm 0.007$	$0.768 \pm 0.009$	$0.726 \pm 0.009$
Average		$0.806 \pm 0.009$	$0.762 \pm 0.009$



مجاز خود را دارا باشد. با توجه به اینکه تمام غلظتهاي اندازه‌گيري شده در اين پژوهش کمتر از مقدار مجاز می‌باشند، بنابراین، دُزهای مؤثر محاسبه شده مربوط به سه گروه بزرگ‌سال، کودک و نوزاد نیز در محدوده مجازند و تهدیدی برای سلامتی ساکنان این شهر وجود ندارد [۱۷].

### تشکر و قدردانی

از آقایان نوربخش علیرضازاده و حمید گرشاسبی که در انجام این پژوهه تسهیلاتی را در اختیار اینجانب قرار دادند کمال تشکر و سپاسگزاری را دارم.

خاک مناطق سبزپوشان و دراک آهکی و مناطق غفیف آباد و بیمارستان نمازی آبرفتی است. ثالثاً، با آنکه استان فارس یکی از مرکزهای کشاورزی در کشور است استفاده از کودهای فسفاته سبب افزایش غلظت اورانیوم آبهای آشامیدنی نشده است. این مطلب با توجه به نتیجه بدست آمده از چاه شماره ۳۰۵ که مرتبط با آب سد درودزن<sup>\*</sup> است به وضوح دیده می‌شود. به بیان دیگر، مقدار کل اورانیوم موجود در آب و خاک منطقه طبیعی می‌باشد. به طوری که رابطه محاسبه دُز مؤثر در آب آشامیدنی نشان می‌دهد، حداقل مقدار مجاز دُز در آب آشامیدنی هنگامی است که پرتوزایی ایزوتوپ یا رادیونوکلئید موردنظر حداقل مقدار

### پی‌نوشت‌ها:

- ۱ - Metamorphic Rocks
- ۲ - United States Environmental Protection Agency
- ۳ - Maximum Concentration Level
- ۴ - Electro-Optical
- ۵ - Complex
- ۶ - Lifetimes
- ۷ - Quenching Effects
- ۸ - Interferences
- ۹ - Unweighted Effective Dose

\* سد درودزن در اطراف شیراز واقع شده و زمینهای کشاورزی زیادی در اطراف آن وجود دارد.  
(نویسنده)

## References:

1. B. G. Bennet, "Exposures to natural radiation worldwide," In: Proceeding of the 14<sup>th</sup> International Conference on High Levels of Natural Radiation, Beijing, China, 21-25 October (1996). L. Wei, T. Sugahara and Z. Tao (eds). Elsvier Sciences B. V. 15-23 (1997).
2. WHO, "Radiological aspects," Guidelines for drinking water quality: Recommendations, second edition, Vol. 1, World Health Organization (1993).
3. C. R. Cothorn, W. L. Lappenbusch, "Occurrence of uranium in drinking water in the U. S.," *Health Physics*, Vol. 45, No. 1, 89-99 (1983)
4. D. R. Lide, "Handbook of Chemistry and Physics," CRC Press, Boca Raton, FL (1992-1993).
5. J. B. Hursh and N. L. Spoor, "Uranium, plutonium, transplutonic elements," edited by H. C. Hodge, J. S. Stannard, J. V. Hursh, New York Springer Verlag (1973).
6. Section on uranium from the Canadian Radiation Protection Bureau, "Guidelines for Canadian drinking water quality," Supporting Documentation, Health and Welfare, Ottawa, Canada (1978-1980).
7. C. E. Roessler, Z.A. Smith, W. F. Bolch, (1979), "Uranium and Radium<sup>226</sup> in florida phosphate materials," *Health Physics*, 37, 269-277 (1979).
8. Province of British Columbia, "Variation in uranium and radioactivity levels in surface and ground water at selected sites in British Columbia," B. C. Ministry of Energy, Mines and Petroleum Resources and B.C. Ministry of Health, Victoria (April 1980-March 1981).
9. D. Meyerhof, "Radionuclide analyses of community well-waters in Manitoba," Letter to D. Racon, Manitoba Department of Environment, from D. Meyerhof, Bureau of Radiation Protection, Environmental Radiation Hazards Division, Health Canada (1989).
10. M. A. Moss, "Chronic low level uranium exposure via drinking water," -clinical investigations in Nova Scotia. M. Sc. Thesis, Dalhousie University, Halifax (1985).
11. M. A. Moss, R. F. McCurdy, K. C. Dooley, M. L. Givner, L. C. Dymond, J. M. Slayter, M. M. Courneya, "Uranium in drinking water," -report on clinical studies in Nova Scotia. In: Chemical toxicology and clinical chemistry of metals. S. S. Brown and J. Savory (eds). Academic Press, London. 149-152 (1983).
12. J. B. Hursh, N. L. Spoor, "Data on man. In: Hodge HC, eds. Handbook of Experimental Pharmacology," Vol. 36, Uranium, Plutonium, transplutonic elements. Berlin, Springer-Verlag, 197-240 (1973).
13. UNSCEAR, "Sources and effects of ionizing Radiation," United Nations Scientific Committee on the Effects of Atomic Radiation, New York (2000).
14. USEPA, "Public drinking water system programs," Environmental Protection Agency. Office of Ground Water and Drinking Water (1999).
15. G. Smithson, "Sampling and selection of analytical methods for radium," In: The International Behavior of Radium. Vienna: IAEA: Technical Report Series 310, 257-271 (1990).
16. "Analytical Procedure for UA-3 Uranium Analysis & UA-3 Uranium Analyser," Part-I, Operators Instructors (1983).
17. H. Naderi, "A Survey of radioactivity in drinking water in Shiraz and Assessment of its related effective dose," M. Sc Thesis, Shiraz University, School of Engineering, Nuclear Engineering Dept., January 1, (2002).
۱۸. ح. نادری, "بررسی میزان پرتوزایی مواد پرتوزا در آبهای آشامیدنی شیراز و محاسبه ذر مؤثر حاصل از این مواد," پایان نامه کارشناسی ارشد, دانشگاه شیراز, دانشکده مهندسی, بخش مهندسی هسته‌ای, ۱۱ دی (۱۳۸۰).